

05.3; 12

© 1992

ТЕПЛОВОЕ ИЗЛУЧЕНИЕ ПРИ АВТОВОЛНОВОМ ОКИСЛЕНИИ ПЛЕНОК ЖЕЛЕЗА

В.Г. М я г к о в, Н.В. Б а к ш е е в

В работе [1] была представлена специфика начального окисления пленок железа, состоящая в том, что в зависимости от скорости нагрева

поверхности $\gamma = \frac{\partial T}{\partial t}$ пленок может реализоваться как обычное

окисление (при $\gamma \rightarrow 0$, квазизотермический нагрев), так и автогенерирующий процесс (АВОП) (при $\gamma \rightarrow \infty$, адиабатический нагрев). Последний начинается с зародыша, который самоподдерживающим образом со скоростью $v \sim (0.2 \div 0.3) \cdot 10^{-2}$ м/с, распространяется по поверхности. Толщина окисла может быть как осцилирующей от времени и расстояния r до центра АВОП, так и практически постоянной (рис. 1). В первом случае АВОП пленок железа визуально напоминает распространение волн на воде от брошенного камня, но в рассматриваемом процессе волны имеют радужную окраску. При этом АВОП пленок железа подобен автогенерирующему процессу типа „ведущий центр“ [2, 3]. Во втором случае такой процесс называют волной перепада [2], или „бегущий“ фронт [3]. Самоподдерживающий характер движения определен тем, что происходит выделение энергии на границе железа с окислом, т. е. возникает волна поверхностного горения. В целом АВОП подобен процессу „взрывной“ кристаллизации [4].

В представленной работе подтверждается изотермический характер процесса и оценивается температура окисла при АВОП.

Эксперименты проводились на тонких пленках железа толщиной 150 нм, полученных методом ионно-плазменного напыления на стеклянные подложки с линейными размерами 24 x 24 мм и толщиной $d_2 = 1.4 \cdot 10^{-3}$ м.

В процессе адиабатического нагрева АВОП, на исследованных пленках с подложками данной толщины, соответствует волнам перепада [1]. Максимальная температура должна быть на фронте волны, где происходит большое тепловыделение. Но при этом уменьшение температуры в направлении окисной фазы должно быть плавным (рис. 1), так как фронт окисления движется в железо. Основная часть выделившегося тепла остается в окисле (коэффициент температуропроводности железа больше коэффициента температуропроводности окисла).

Регистрация инфракрасного излучения производилась на установке схематически изображенной на рис. 1. Образец (2) помещался на нагреватель (1) при температуре 500 °C. В установке использовался щелевой экран, позволяющий регистрировать излучение

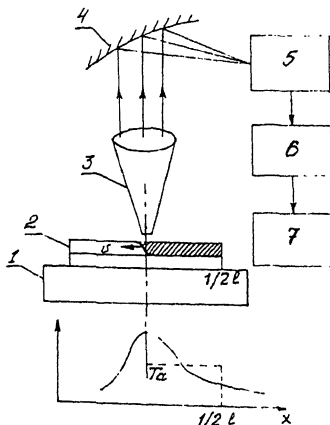


Рис. 1. Схема экспериментальной установки для определения теплового потока при АВОП и температурный профиль окисла, связанный с фронтом окисления.

только с малого участка ($\sim 4 \text{ мм}^2$) поверхности пленки. Сфокусированное параболическим зеркалом (4) излучение поступало на механический модулятор (5) (частота модуляции 240 Гц) с приемником инфракрасного излучения МГЗО. Далее сигнал подавался на селективный усилитель (6) и регистрировался двухкоординатным самописцем (7).

На рис. 2 изображен наиболее характерный график зависимости плотности теплового потока от температуры. После того как образец помешался на нагреватель, плотность теплового потока Q уменьшалась на величину $\Delta Q = (T_1 - T_0)/R$, где $(T_1 - T_0)$ соответствует разности температур поверхности образца и нагревателя, равной в условиях эксперимента 25° . Текущее сопротивление системы пленка + подложка $R = d_1/\lambda_1 + d_2/\lambda_2$, где λ_1 и λ_2 - коэффициенты теплопроводности пленки и подложки. В расчетах использовались значения теплофизических величин, приведенные в [5]. Значение коэффициента теплопроводности стекла при 500°C соответствует $\lambda_2 = 0.3 \text{ Вт}/(\text{м}\cdot\text{К})$ с учетом обратно пропорциональной зависимости от абсолютной температуры. Подставляя эти данные в формулу теплового потока, получаем $\Delta Q = 5.3 \cdot 10^3 \text{ Вт}/\text{м}^2$. По истечении времени $1 \frac{1}{2}$ секунды, необходимого для прогрева подложки, начинался АВОП, в результате которого возрастал тепловой поток от образца, что подтверждает экзотермический характер процесса окисления. Через $5 \frac{1}{2}$ секунд АВОП заканчивался и тепловой поток уменьшался. Заштрихованная площадь под частью графика, отражающей этот процесс, соответствует плотности теплоты $E = 2.3 \times 10^3 \text{ Дж}/\text{м}^2$, выделившейся при автоволновой реакции окисления.

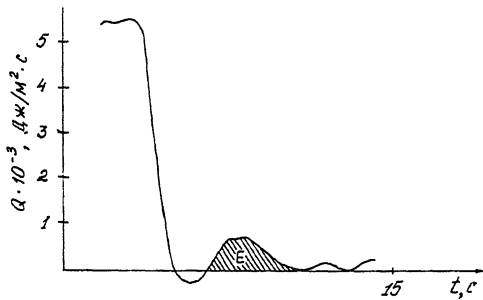


Рис. 2. Зависимость плотности теплового потока от времени. Заштрихованная область определяет плотность теплоты, выделившейся при экзотермической реакции АВОП.

С другой стороны, плотность теплоты $E = \int_{T_0}^{T_A} c dT$, где c – удельная (на единицу площади) теплоемкость пленки. Принимая плотность окисла $\rho = 5.1 \cdot 10^3$ кг/м³, среднее значение теплоемкости $C_p = -200$ Дж/моль·град, получаем значение $T_A = 3800$ °С.

Расчетное значение температуры T_A меньше температуры парообразования, так как контроль содержания атомов железа методом рентгеновского флуоресцентного анализа не показывает значительного испарения окисла.

Вычисленная температура окисла T_A является средней за время протекания АВОП. Истинный профиль температуры должен быть аналогичен профилю изображенному на рис. 1. Поэтому температура на фронте окисления может оказаться выше T_A . С другой стороны, средняя температура окисла T_A меньше суммы температурного эквивалента теплового эффекта и температуры T_0 ($T_H = \Delta H^\circ \text{обр}/C + T_0 = 6000$ °С, где $\Delta H^\circ \text{обр}$ – энталпия образования окислов равная $1.1 \cdot 10^6$ Дж/моль и $0.84 \cdot 10^6$ Дж/моль для Fe_3O_4 и Fe_2O_3 соответственно). Отсюда следует, что происходит значительная диссиpация энергии, выделившейся при АВОП, которая во многом определяется температуропроводностью подложки. С этой целью адиабатически нагревались пленки железа, осажденные на медные подложки, обладающие высокой температуропроводностью. На этих пленках АВОП реализовать не удалось.

АВОП существует не только в пленках железа (толщина окисла не превосходит 250–300 нм), но также в других металлах и сплавах. Большая температура окисной пленки может изменить в целом свойства пленочного образца. Поэтому эффект АВОП необходимо

учитывать при больших скоростях нагрева тонких пленок, например при термомагнитной записи информации.

С п и с о к л и т е р а т у р ы

- [1] М я г к о в В.Г., Ф р о л о в Г.И. // Письма в ЖТФ. 1990. Т. 16. В. 23. С. 1-4.
- [2] П а л а к Л;С., М и х а и л о в А.С. Самоорганизация в не-равновесных физико-химических системах М.: Наука, 1983. 285 с.
- [3] В а с и л ь е в В.А., Р о м а н о в с к и й Ю.М., Я х-н о В.Г. Автоволновые процессы М.: Наука, 1987. 240 с.
- [4] Ш к л о в с к и й В.А., К у з ь м е н к о В.М. // УФН. 1989. Т. 157. В. 2. С. 311-338.
- [5] Таблица физических величин / Под ред. И.К. Кикоина. М.: Атомиздат, 1976. 1006 с.

Поступило в Редакцию
10 февраля 1992 г.